



بررسی شاخص‌های خرابی قاب بتنی تقویت شده با کامپوزیت کربن/اپوکسی تحت بار چرخه‌ای

شهره عالادینی^۱، محمد زمان کبیر^{۲*}

۱- دانشجوی دکتری، مهندسی عمران- سازه، دانشگاه صنعتی امیرکبیر، تهران

۲- استاد، مهندسی عمران- سازه، دانشگاه صنعتی امیرکبیر، تهران

* تهران، صندوق پستی ۱۵۸۷۵-۴۴۱۳

چکیده

رفتار قاب‌های خمشی بتن مسلح، به عنوان یکی از سیستم‌های سازه‌ای رایج در برایر بارهای جانی ناشی از زلزله از اهمیت بالایی برخوردار می‌باشد. با توجه به مشکلات عدیده‌ای که سیستم ساخت و ساز کشور دارد است و کیفیت پایین ساختمان‌ها ناشی از عدم رعایت دقیق جزئیات اجرایی توسط مجریان اسکلت، کیفیت پایین مصالح مصرفی و وجود ساختمان‌های بسیاری که بدون توجه به خواص اصولی و بصورت معمارساز در کشور ساخته شده‌اند، لزوم انجام مطالعات درخصوص روش‌های بهسازی سازه‌های موجود امری ضروری می‌نماید. در دهه‌های اخیر، استفاده از کامپوزیت‌های پلیمری الیافی برای بهسازی و ترمیم سازه‌های بتن مسلح، گسترش زیادی یافته است. هدف اصلی در این مقاله، دستیابی به روندی برای بهسازی بهینه قاب درگاهی بتن مسلح با استفاده از الیاف پلیمری و بررسی رفتار پس از تقویت آن تحت بارهای سیکلیکی، از نقطه نظر مقاومت و شکل‌پذیری محلی و کلی منظور شده است. برای این منظور رفتار قاب بتن مسلح پرتال، به صورت یک مجموعه پیوسته مشکل از تیر، ستون و ناحیه اتصال بصورت آزمایشگاهی و عددی، تحت اثر توأم بارهای ثقلی و جانبی، در دو حالت بهسازی شده و بهسازی شده مورد بررسی قرار گرفت. تحلیل عددی با استفاده از دو نرم‌افزار LS-DYNA و Seismostruct صورت گرفت و با نمونه آزمایشگاهی مقایسه شد. لذا، به منظور دستیابی به طرح بهینه بهسازی، اثرات پارامتر آرایش ورق‌های تقویتی، محصوریت و تعداد لایه‌های مصرفی در رفتار لرزه‌ای قاب بهسازی شده بررسی گردید. برای این منظور حالات مختلف تقویت از نظر رفتار هیستوتیک، منحنی‌های بار-تغییرمکان، منحنی‌های ظرفیت استهلاک انرژی، مودهای خرابی و آرایش ترک‌ها مورد بررسی و مقایسه قرار گرفت.

اطلاعات مقاله:

دریافت: خرداد ۹۳

پذیرش: شهریور ۹۳

کلیدواژه‌گان:

قابل بتنی،
بارگذاری سیکلیکی،
الیاف پلیمری،
استهلاک انرژی،
شکل‌پذیری

Assessment of damage index of retrofitted RC frame by using CFRP under cyclic loading

Shohreh Alaeddini¹, Mohammad-Zaman Kabir^{2*}

1- Department of civil Engineering, Amirkabir University of Technology, Tehran, Iran.

2- Department of civil Engineering, Amirkabir University of technology, Tehran, Iran

* P.O. Box 15875-4413 Tehran, mzkabir@aut.ac.ir,

Keywords

RC frame,
Cyclic loading,
FRP,
Dissipated energy,
Ductility

Abstract

Current study investigates the seismic performance of the reinforced concrete (RC) portal frames with emphasizing on the failure at the beam-column junction. Fiber reinforced polymer (FRP) is excessively used to restore RC flexural components as beam and columns. Here, the main interest is to focus on the ductility and strength enhancement of CFRP retrofitted shear-critical parts of the RC frame under a successively lateral cyclic loading. Two types of FRP strengthening schemes, U shaped Wrap (UW) and L shaped Wrap (LW), are used as external bonded sheets. Numerical simulation is conducted using LS-DYNA FE software and Seismostruct software. Moreover, the results in terms of load displacement are validated with the experimental data. The crack pattern at the critical region, connection area, due to the shear deficient strength is studied in details for both control and retrofitted specimens. In a conducted parametric study, the optimum stacking sequence is obtained for a better performance of the RC frame subjected to the lateral cyclic loading. In this direction, the overall energy dissipation and overall ductility assessment are calculated.

Please cite this article using:

Alaedini, S., Kabir, M.Z., "Assessment of damage index of retrofitted RC frame by using CFRP under cyclic loading", In Persian, Journal of Science and Technology of Composites, Vol. 1, No. 1, pp. 45-52, 2014.

برای ارجاع به این مقاله از عبارت ذیل استفاده نمایید:

۱- مقدمه

در سال‌های ۲۰۰۵ تا ۲۰۰۸ در چهارچوب طرح تحقیقاتی ارزیابی و بهبود عملکرد لرزه‌ای^۱ تعدادی آزمایش شبیدینامیکی توسط دی‌لودو ویکو^۲ و همکاران [۲] بر روی سازه‌ای سه طبقه با مقیاس واقعی که نشان‌دهنده سازه‌های تیپ طرح شده در دهه‌ی ۷۰ و پیش از آن در ایتالیا می‌باشد، در شهر ایتالیا^۳ انجام پذیرفت. سازه سه‌بعدی مورد بررسی توسط این محققین، تهها به منظور تحمل بارهای نقلی طرح گردیده بود و ارتفاع طبقات آن ۳ متر و در هر دو چهت به صورت نامتقارن و دارای دو دهنه با طول‌های بین ۳ تا ۶ متر بود. این سازه که دارای ضفه‌های بسیاری از نظر عملکرد لرزه‌ای بود با الیاف پلیمری تقویت و تحت رکورد زلزله مونتنگرو هرسج نوی^۴ با ضرایب تشدید متفاوت مورد آزمایش قرار گرفت و اثرات تقویت برای المان‌های متفاوت سازه مورد بررسی قرار گرفت. سازه در ابتدا تحت آزمایش شبیدینامیکی دوچهته با بیشینه شتاب^۵ معادل $g/20$ قرار گرفت. سپس به منظور قادر ساختن سازه به تحمل شتاب بیشینه معادل $g/3$ سیستم بهسازی با استفاده از مواد کامپوزیت با الیاف شیشه^۶ برای آن طرح گردید. طرح بهسازی به کار رفته به منظور دستیابی به عملکرد شکل‌پذیر و مستهلك‌کننده انرژی با افزایش شکل‌پذیری ستون‌ها و اجتناب از وقوع مودهای گسیختگی ترد طرح گردید. نتایج آزمایشات نشان داد، شیوه پیشنهادی این محققین در عملکرد لرزه‌ای قاب بتن مسلح، مؤثر می‌باشد و بهسازی قاب با ورق‌های پلیمری الیافی، سازه را به تحمل تحریک لرزه‌ای حدود ۱/۵ برابر تحریک قابل تحمل در حالت بدون بهسازی، قادر می‌سازد.

در سال ۲۰۰۷ شیخ و همکاران^۷ [۳] قاب پرتال دوطبقه‌ای را که دارای ضعف برشی در تیرهای بود را در دانشگاه تورنتو بصورت آزمایشگاهی تحت بار سیکلی مورد بررسی قرار دادند. این محققین ابتدا قاب تقویت شده را تحت یک سیکل بارگذاری تا جایی که ترکهای برشی مشهود در تیر وجود آید قرار دادند. سپس تیرهای قاب را با دوربین‌های منقطعی از الیاف پلیمری تقویت و بارگذاری سیکلی قاب را تجدید نمودند. نتایج مطالعات این محققین افزایش مقاومت جانبی قاب و بهبود شکل‌پذیری آن را در پی داشت.

در سال ۲۰۰۸ و کچیو و همکاران^۸ [۴] از آنالیز المان محدود برای پیش‌بینی رفتار قاب‌های بتن مسلح تقویت شده با پلیمر الیافی استفاده نمودند. این محققین برای آنالیز المان محدود از نرم‌افزار وکتور^۹ که نرم‌افزاری با قابلیت تحلیل غیرخطی براساس مدل حوزه تنش گستردگی سبب دوام و پایا بودن عملکرد آنها صحت و دقت مدل عددی خود از نتایج آزمایشگاهی خود که در قسمت قبل اشاره شد استفاده نمودند. این محققین با مقایسه نتایج تحلیل عددی و مشاهدات آزمایشگاهی مربوط به پاسخ هیستوتیک،

1. Seimic Performance Assessment and Rehabilitation

2. Di Ludovico

3. Ispra

4. Montenegro Herceg Novi

5. PGA

6. GFRP

7. Sheikh, Duong, Vecchio

8. Vecchio, Kim

9. VecTor

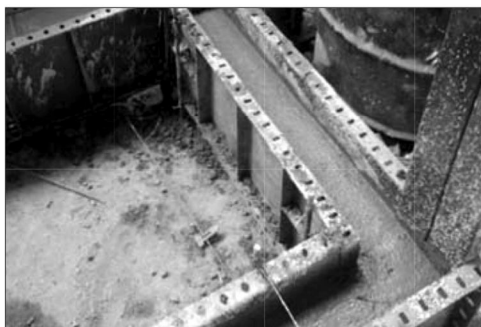
سازه‌های بتن مسلح به عنوان بخش گستردگی از سازه‌ها، چنانچه بر حسب محاسبات دقیق و ضوابط شکل‌پذیری طراحی ساخت در برخی ساختمان‌ها به دلایل مختلف بسیار پایین است. کیفیت بد بتن، آرماتور گذاری نامناسب، اجرای بد بتون ۱۹۷۰ مصالح نامرغوب و ... از مشکلات این سازه‌ها است. همچنین رفتار سازه‌های بتن مسلح در زلزله‌های اخیر نشان داده است که آینه‌اند دارای نقایص و کمبودهایی مانند قلاب مهار انتهایی آرماتورهای عرضی، جزئیات وصله آرماتورهای طولی و ... می‌باشند. علاوه بر این، اصولاً ساختمان‌های بتنی که سیستم مقاوم در برابر بارهای لرزه‌ای در آنها صرفاً قاب خمشی است در مقایسه با قاب‌هایی که از دیوار برشی بهره می‌گیرند، عملکرد ضعیفتری دارند که علت این امر تمرکز تخریب در اتصالات است.

در صنعت ساختمان، بهسازی عبارتست از ایجاد قابلیت انجام وظیفه یا وظایفی که سازه یا اجزاء و عناصر آن که در وضع موجود قادر به انجام تمام و کمال آن وظیفه یا وظایف نیستند. این عدم توانایی ممکن است ناشی از نارسانی طرح، نامناسب بودن اجراء، بهره برداری نادرست، عدم کفایت ساختمان یا عناصر آن در اثر تعییر در ضوابط آینه‌اند ناشی از توسعه اطلاعات مهندسی، از دست رفتن مشخصه‌های مصالح و تجهیزات به دلایل مختلف از جمله اثر فرساینده زمان، سانحه، حادثه یا حاصل تغییر و تحول در شرایط زیست و کار و سنگین تر شدن وظایف مورد انتظار ساختمان باشد.

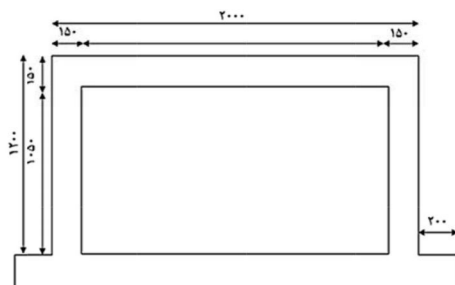
در دهه‌های اخیر، استفاده از کامپوزیت‌های پلیمری الیافی برای بهسازی و ترمیم سازه‌های بتن مسلح، گسترش زیادی یافته است. سیستم‌های پلیمری الیافی جهت مقاومت سازه‌های سازه‌های بتنی از حدود اواسط سال ۱۹۸۰ میلادی مورد استفاده قرار گرفت. تعداد پژوهش‌هایی که از سیستم‌های پلیمری الیافی در سراسر جهان استفاده می‌کنند، به طور چشمگیری از ده سال پیش تاکنون رشد نموده است. مزیت اصلی مصالح پلیمری الیافی، نسبت بالای مقاومت به وزن و مقاومت زیاد آن در مقابل خودگی می‌باشد. مقاومت بالای آنها در عین حال که وزن کمی دارند، سبب می‌گردد که جابجایی و حمل و نقل آنها راحت‌تر بوده و هزینه استفاده از آنها و نیروی کار، کاهش یابد. همچنین، مقاومت بودن آنها در مورد خودگی سبب دوام و پایا بودن عملکرد آنها می‌باشد. صفحات پلیمری الیافی حداقل دو برابر مقاومت صفحات فولادی را دارا هستند که این مقدار می‌تواند تا ۱۰ برابر مقاومت صفحات فولادی نیز باشد، در حالیکه وزن آنها فقط ۲۰ درصد وزن فولاد است [۱].

علیرغم انجام مطالعات تقریباً زیاد در دهه اخیر در خصوص تقویت اتصالات تیر به سنتون در سازه‌های بتن مسلح، مطالعات آزمایشگاهی بر روی قاب‌ها و سازه‌های بتن مسلح تقویت شده با الیاف پلیمری الیافی، بدليل بار مالی آزمایشات و صعوبت کار بسیار محدود می‌باشد.

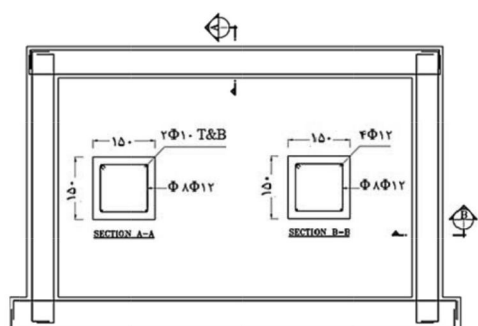
قاب بتُنی، نمونه تقویت نشده و یکی از نمونه‌های تقویتی (UW)، مدلسازی شده و صحت نتایج نرم افزار بررسی شده است. نمونه تقویت نشده که نمونه کنترل (C) نام دارد دارای مقاومت فشاری بتُن ۳۰ مگاپاسکال و مقاومت کششی بتُن ۲/۹۱ مگاپاسکال می‌باشد و مشخصات نمونه تقویت شده در شکل ۳ نشان داده شده است. برای اعمال بار جانبی از یک جک هیدرولیکی ۱۰۰۰ کیلونیوتی بر محور تیر، استفاده گردیده است. تجهیزات و پروتکل بارگذاری نیز در شکل ۴ و ۵ آورده شده است.



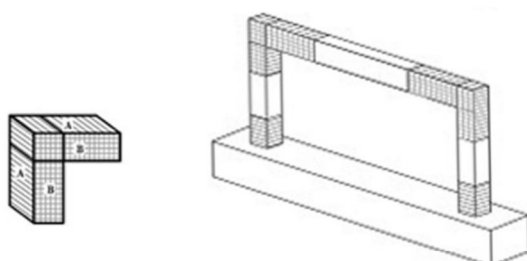
شکل ۱



شکل ۲- قالب گذاری و هندسه قاب آزمایشگاهی



شکل ۳- آرماتوربندی قاب آزمایشگاهی



شکل ۴- مدل‌های تقویت (نک لایه = A و دو لایه = B)

مود خرابی، آرایش ترک‌ها و تغییرشکل قاب قابلیت‌های نرم افزار المان محدود توسعه داده شده توسط خود را وارسی نمودند.

در سال ۲۰۱۱ ژو [۵] و همکاران مطالعاتی آزمایشگاهی بر روی قاب بتُن مسلح یک دهانه و یک طبقه که با الیاف پلیمری بهسازی شده بود انجام دادند. این محققین در پژوهه تحقیقاتی خود ۲ قاب بتُن مسلح با مقیاس ۱:۳ ساخته و رفتار نمونه‌های خود را یکی به صورت تقویت نشده به عنوان نمونه شاهد و دیگری به صورت تقویت شده توسط پلیمری الیافی در دو انتهای تیر و ستون و ناحیه اتصال را، تحت بار سیکلی جانبی نمونه مورد آزمایش قرار دادند. قاب مورد بررسی توسط این محققین از یک ساختمان صنعتی دو طبقه الگو گرفته بود. هدف اصلی این محققین، بررسی اثر تقویت پلیمر الیافی بر روی لرزه‌ای سازه‌های ساخته شده در اثر تحریک سیکلی و منحنی هیسترتیک آرماتورها، الیاف پلیمری و اسکلت بتُنی نمونه‌ها را استخراج کرده و مورد مقایسه قرار دادند. نتایج آزمایشات این محققین، بهبود عملکرد هیسترتیک قاب تقویت شده و افزایش ظرفیت استهلاک انرژی و شکل پذیری این نمونه را نشان داد.

لذا با توجه به پیچیدگی و تنوع مکانیزم خرابی قابهای بتُنی تقویت شده توسط الیاف پلیمری، آنالیزهای عددی انجام شده در این زمینه محدود می‌باشد. در این مقاله قصد بر آن است که ابتدا شرح مختصری از روند تحقیق و نتایج آزمایشگاهی انجام شده ارائه شود و سپس بخش عمده‌ی مطالعه به شرح آنالیز عددی انجام شده توسط نرم افزار المان محدود LS-Dyna Seismostruct پرداخته شود. برای مطالعه در زمینه عددی، ابتدا نمونه کنترل مطابق با اطلاعات آزمایشگاهی با نرم افزارهای ذکر شده، ساخته و پس از کالیبره نمودن نتایج مطالعات پارامتریک در زمینه نوع آرایش لایه‌ها و نوع تقویت برای بدست آوردن بهینه‌ترین روش مقاوم سازی و بیان رفتار کلی قاب ارائه شده است.

۲- صحت سنجی نرم افزار

۲-۱- جزئیات مدل آزمایشگاهی

یک مجموعه شامل ۵ قاب آزمایشگاهی با مقیاس ۱ به ۳ نمونه آزمایشگاهی نسبت به نمونه واقعی ساخته (شکل ۱) و در حالات مختلف به منظور بررسی تاثیر پارامترهای تاثیرگذار در آرایش اتصال خارجی همراه با پلیمر الیافی مورد بررسی قرار گرفت. با توجه به انتخاب مقیاس ۱ به ۳ برای مدل آزمایشگاهی، ابعاد نمونه و آرماتورگذاری تیرها و ستون‌ها در شکل‌های ۱ و ۲ نشان داده شده‌اند. ستون‌ها و تیرهای قاب دارای ابعاد ۴۵ سانتی‌متر در ۴۵ سانتی‌متر بوده و آرماتور ستون‌ها شامل ۸ آرماتور به قطر ۲۵ میلی‌متر و آرماتور تیرها شامل ۳ آرماتور سرتاسری به قطر ۲۲ میلی‌متر در نقاط ابتدایی و انتهایی تیر و تقویت ۲ آرماتور به قطر ۲۲ میلی‌متر در نقاط ابتدایی و انتهایی بالایی تیر می‌باشد. از میان این ۵ نمونه یک نمونه تقویت نشده می‌باشد و سایر نمونه‌ها با پلیمر الیافی تقویت شده‌اند و تحت بار سیکلی قرار گرفته‌اند. برای بررسی رفتار بارگذاری چرخه‌ای

جدول ۱- مشخصات آرماتور مصرفی

تنش تسیلیم (مگاپاسکال)	نوع فولاد	قطر (میلیمتر)	فولاد مصرفی
۳۳۰	۲۰۰S	۱۰	آرماتور طولی تیر
۴۰	۴۴۵S	۱۲	آرماتور طولی ستون
۳۳۰	۲۰۰S	۸	آرماتور عرضی

جدول ۲- مشخصات بتن مصرفی

V	مقاومت کششی (مگاپاسکال)	مقاومت فشاری (مگاپاسکال)	بتن مصرفی
۰/۲۹	۲/۹	۳۰	

جدول ۳- مشخصات الیاف مصرفی

ضخامت (میلیمتر)	E _C ^۳ (مگاپاسکال)	E _B ^۲ (مگاپاسکال)	E _A ^۱ (مگاپاسکال)	خواص کامپوزیت مصرفی
۰/۱۶۷	۱۶۷۰۰۰	۱۶۷۰۰۰	۲۳۵۰۰۰	الیاف

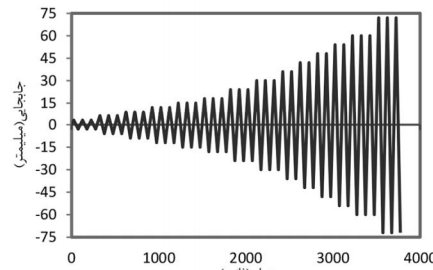
۳-۲- جزئیات مدل عددی در نرم افزار Siesmostruct [۷]

در این نرم افزار برای مصالح مورد استفاده در سازه پنج نوع ماده برای میلگرد های مصرفی تیر و ستون و بتن هسته مقاطع و بتن کاور روی میلگرد و پلیمر الیافی تعریف می گردد. برای بتن مصرفی در هسته اتصال نیز، معمولاً در کارهای آکادمیک ضریب مخصوص شدگی توسط خاموت ها ۱/۲ تعریف می گردد. برای فولاد از مدل دو خطی فولاد استفاده شده است. این مدل یک مدل تنش-کرنش تک محوری یا سخت شدگی کرنش سینماتیک است که در آن در طول مراحل مختلف بارگذاری محدوده ارجاعی، ثابت باقی می ماند و طریقه سخت شدگی کرنش سینماتیک برای رویه تسیلیم، بصورت یکتابع خطی از نمونه های کرنش پلاستیک می باشد. این مدل ساده، همچنین دارای پارامترهای کالیبراسیون بسیار ساده و کارایی محاسباتی بالا است. چهار پارامتر مدول الاستیسیته (۲۰۰ گیگا پاسکال)، مقاومت تسیلیم (مطابق جدول ۱)، پارامتر سخت شوندگی کرنشی (۰/۰۰۱) و وزن مخصوص مصالح (پیش فرض ۷۸ کیلونیوتن بر متر مکعب) تعریف می شوند. برای مدل بتن از مدل غیر خطی بتن با محدود شدگی ثابت استفاده شد. این مدل یک مدل تک محوری غیر محوری با محدود شدگی ثابت می باشد که در ابتداء توسط مادس^۹ برنامه ریزی شد. این مدل از رابطه کلی پیشنهادی، توسط مندر^۱ و همکاران تبعیت می کند و ضوابط چرخه ای آن توسط مارتینز^{۱۰} ارائه گردید [۸]. اثرات محدود شدگی ایجاد شده توسط تسیلیم عرضی، مطابق با شرایط پیشنهادی مندر و همکاران می باشد که در آن، فشار کنترل کننده در تمام محدوده تنش-کرنش ثابت، فرض شده است. پارامترهای این مدل شامل مقامات فشاری (۳۰ مگاپاسکال)، مقاومت کششی بتن (۲/۹ مگاپاسکال)، کرنش در تنش حداقل (۰/۰۰۲) و وزن مخصوص (۲۴ کیلونیوتن بر متر مکعب) می باشد. برای مدلسازی پلیمر الیافی از المان پلیمری^{۱۱} استفاده شود مشخصات این ماده همانند جدول ۳ می باشد.

به عنوان مثال، نمودار تنش - کرنش مصالح فولاد ستون و بتن و پلیمر الیافی در شکل ۶ و ۷ نشان داده شده است. و مدل قاب بتی در شکل ۸ نشان داده شده است.



شکل ۵- جک بارگذاری



شکل ۶- پروتکل بارگذاری

۲-۲- جزئیات مدل عددی در نرم افزار LS-DYNA [۶]

برای مدلسازی بتن، از ماده بتن وینفیریت^{۱۲} استفاده شده است. برای مدلسازی جک فلزی جهت اعمال جابجایی از مدل ماده صلب^{۱۳} استفاده شده است. همچنین برای مدلسازی آرماتورهای ستون از ماده پلاستیک^{۱۴} استفاده شده است. المان های مورد استفاده برای بتن المان ۸ گرهای از نوع المان های سه بعدی^{۱۵} برنامه و با فرمول بندی شماره ۱ که المان تنش ثابت^{۱۶} می باشد است. المان مورد استفاده برای جک صلب، از نوع المان های پوسته ای بوده است که شماره فرمول بندی این المان در نرم افزار المان محدود، ۲ می باشد که مربوط به فرمول بندی بليتجکو-تسای^{۱۷} می باشد و از ضخامت ۰/۰۲ متر در هر ۴ نقطه انتگرال گیری برای این المان استفاده شده است. المان مورد استفاده برای آرماتورهای طولی و عرضی، المان خپایی می باشد. این المان زیر مجموعه المان های تیر در نرم افزار المان محدود می باشد. شماره فرمول بندی المان ۳ به نام المان خپایی می باشد. با توجه به متفاوت بودن ابعاد میلگرد های طولی و عرضی از دو نوع المان خپایی، با توجه به سطح مقطع آرماتورها، استفاده شده است. برای تنظیمات تحلیل از منوی دینامیک استفاده شده است. جهت مدلسازی مواد مرکب، نرم افزار المان محدود مذکور مدل های ماده متعددی را فراهم کرده است. برای مدلسازی ماده الیاف از المان الیاف^{۱۸} استفاده شده است. مشخصات مورد نیاز برای هر نوع المان با توجه به مدل مورد استفاده در جدول ۱ تا ۳ آمده است.

9. Madas

10. Mander

11. Rueda-Martinez

12. Frp_tl

1. Winfrith

2. MAT-RIGID

3. MAT-PLASTIC-KINEMATIC

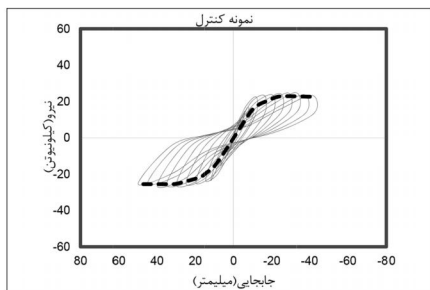
4. Solid

5. Constant stress solid

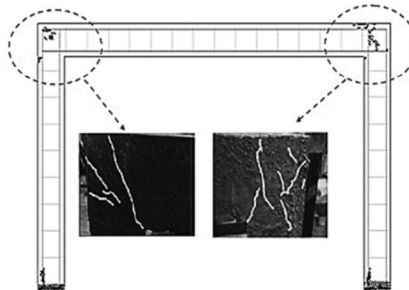
6. Belytschko-Tsay

7. Truss

8. MAT_LAMINATE_COMPOSITE_FABRIC

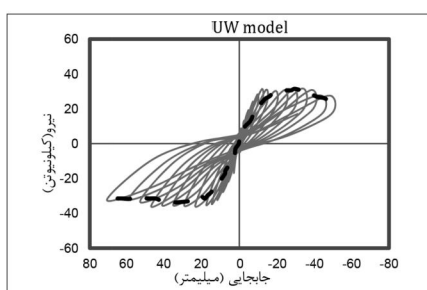


شکل ۹- صحت سنجی نمودار پوش مدل آزمایشگاهی C و چرخه‌ای مدل عددی المان محدود

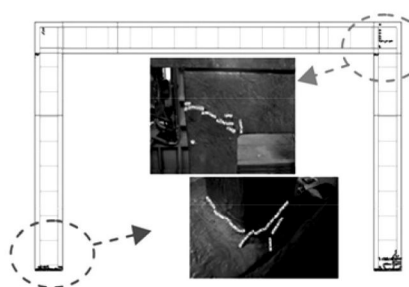


شکل ۱۰- مقایسه مکانیسم خرابی

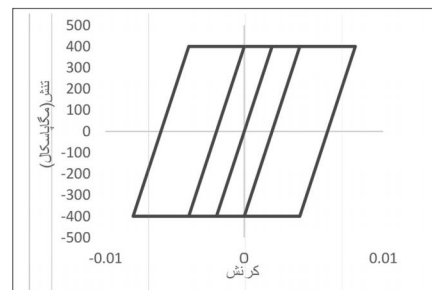
جزئیات نمونه تقویتی، که در شکل ۳ آمده است، با یک لایه کامپوزیت الیافی کربنی به ضخامت $167\text{ }\mu\text{m}$ و به طول 300 میلیمتر از بر اتصال تیر و ستون قاب در جان آنها تقویت شده است. این اتصال نیز همانند نمونه C، تحت بارگذاری سیکلی مشابه، قرار می‌گیرد. این تقویت U شکل برای مقاوم سازی برشی، مورد استفاده قرار گرفته است. در شکل ۱۱ نمودارهای پوش مدل آزمایشگاهی و مدل تحلیلی آمده است که نشان دهنده تطابق خوبی می‌باشد. در شکل ۱۲ نشان داده شده که علاوه بر نظر کمی (منحنی بار-تغییرمکان) از نظر کیفی (آرایش ترک‌ها) نیز همخوانی مناسبی بین نتایج تحلیل المان محدود و آزمایشگاهی وجود دارد.



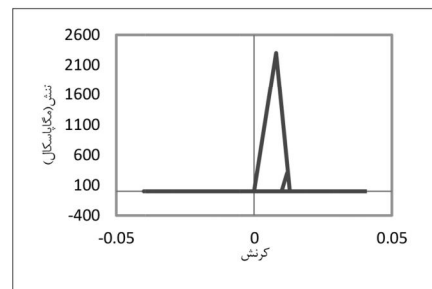
شکل ۱۱- صحت سنجی نمودار پوش مدل آزمایشگاهی تقویتی و چرخه‌ای مدل عددی المان محدود



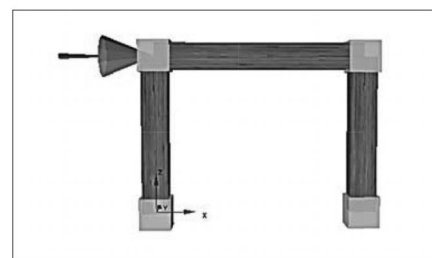
شکل ۱۲- مقایسه مکانیسم خرابی تقویتی



شکل ۶- مدل تنش - کرنش آرماتور ستون



شکل ۷- مدل تنش - کرنش FRP در راستای الیاف



شکل ۸- مدلسازی در نرم افزار Seismostruct

۴-۲- مقایسه نتایج آزمایشگاهی و عددی
مدل آزمایشگاهی در محیط نرم افزار المان محدود و مدل فایبری برای صحت سنجی نتایج حاصل، آنالیز شد. در مدل نرم افزار المان محدود برای مشبندی پس از بررسی حساسیت نتایج نسبت به مشبندی المان‌ها فاصلی کمتر از طول مشخصه مصالح در نظر گرفته شدند. در شکل ۵ نمودارهای پوش حاصل از آزمایش و هیسترزیس حاصل از تحلیل عددی المان محدود به منظور مقایسه و صحت سنجی مدل دیده می‌شود. با توجه به منحنی ۹ مشاهده می‌گردد که حداکثر بار در کشش به ترتیب $22/۸۰$ و $24/۸۶$ کیلونیوتن از آزمایش و تحلیل عددی و در فشار به ترتیب $25/۵۳$ و $26/۳۴$ کیلونیوتن از آزمایش و تحلیل عددی می‌باشد. با توجه به پیچیده بودن تعریف مشخصات بتون در نرم افزار و نوع مشبندی، اختلاف مشاهده شده قابل اغماض می‌باشد و همچنین مقادیر شیب اولیه، انعطاف‌پذیری و همخوانی مناسبی دارند. در صورتی که مشبندی نمونه قدری ریزتر باشد نتایج حقیقی تری بدست می‌آید. محل مفصل پلاستیک و در واقع شکست قاب بتونی در نمونه تحلیلی در محل اتصال تیر به ستون و پای ستون می‌باشد که می‌توانیم این مکانیزم را در نمونه آزمایشگاهی هم بطور واضح مشاهده کنیم. همچنین نتایج حاصل از نرم افزار Seismostruct در جدول ۴ نشان داده شده است.

۴- بررسی نتایج

۱- مقاومت

بررسی نتایج از چند منظر، اختلاف در مقاومت نمونه‌ها با تعییر نوع تقویت و آرایش الیاف و همچنین اثرات آنها بر روی انرژی مستهلك شده بر رفتار قاب مورد بررسی قرار می‌گیرد. نتایج حاصل برای نمونه‌های تقویتی در جدول ۶ آمده است. همانطور که ملاحظه می‌شود بهترین نمونه از لحاظ افزایش مقاومت نمونه LW-۹۰/۰ نسبت به نمونه کنترل افزایش ۱۱۶/۶ درصدی در کشش و افزایش ۱۰۶/۹ درصدی در فشار دارد.

جدول ۶- مقادیر افزایش مقاومت نمونه‌های پارامتریک

نمونه	نمونه	کشش	فشار	کشش	فشار	کشش	درصد اختلاف مقاومت با نمونه کنترل (%)	مقادیر نیروی بیشینه (کیلونیوتون)	نمونه
C	C	-	-	۲۶/۳۴	۲۴/۸۶		-		XRDG
LW	LW	۱۱۶/۶	۹۴	۵۷/۰۶	۴۸/۲۳		-		ARMA
LW	LW	۱۰۶/۹	۱۱۶/۶	۵۴/۵۱	۵۳/۸۴		-		ARMA
LW	LW	۶۰/۴	۶۴/۷	۴۲/۲۵	۴۰/۹۴		-		GF
UW	UW	۳۵/۴	۳۶/۸	۳۳/۶۶	۳۶/۰۴		-		GF
UW	UW	۶۰/۲	۷۴/۲	۳۹/۸۲	۴۵/۸۹		-		GF
UW	UW	۱۷/۵	۱۷/۴	۲۹/۲۰	۳۰/۹۲		-		GF

۴- شاخص‌های خرابی و رفتار غیرخطی سازه

شاخص‌های خرابی و شکست که در مقالات و تحقیقات علمی معرفی شده‌اند دارای ویژگی‌های مختلف بوده و می‌توان آنها را برای انواع المان‌ها و زیرالمان‌های سازه‌ای (شاخص‌های محلی) و یا حتی برای کل سازه (شاخص‌های کلی) به کار برد. شاخص محلی برای هر المان (تیر، ستون؛ مفصل و ...) و هر شرایط بارگذاری (محوری، برشی، خمشی)، کالیبره می‌شود و به طور معمول این کالیبراسیون با انجام رگرسیون‌ها بر روی نتایج آزمایشگاهی انجام می‌شود. مقالات متعددی در سالهای اخیر منتشر شده که هریک روابط متفاوتی را ارائه نموده‌اند که به طور کلی در بیشتر آن، به سازه‌های بتُن آرمه پرداخته شده است.

اولین پارامتر خرابی که مورد استفاده قرار گرفته است، نرمی (شکل پذیری) جنبشی و یا چرخه‌ای است که می‌توان آن را بر مبنای چرخش، انحنا و جایجاوی تعریف کرد (۳). انتخاب نوع چرخه‌ای و یا جنبشی معادل این است که فرض شود شکست سازه ناشی از رسیدن به جایجاوی حداقل خیری است؛ یا اینکه به دلیل چرخه‌های متعدد خمیری و رسیدن به جذب مقدار انرژی معین می‌باشد. آزمایش نشان داده است که وقوع شکست در مورد المان‌های بتُن آرمه با جزئیات طراحی مناسب که دچار شکست برشی و یا ضعف چسبندگی میان فولاد و بتُن نشوند، به حداقل جایجاوی خمیری وابسته است. بنابراین،

نتایج حاصل از صحبت سنجی نمونه‌های آزمایشگاهی و عددی در دو نرم افزار در جدول ۴ نشان داده شده است. همانطور که ملاحظه می‌شود نتایج حاصل از نرم افزار المان محدود هم خوانی مناسبی با نتایج آزمایشگاهی دارد. لذا برای قسمت مطالعات پارامتریک از نرم افزار LS-DYNA استفاده می‌کنیم.

جدول ۴- صحبت سنجی نمونه‌های آزمایشگاهی و عددی

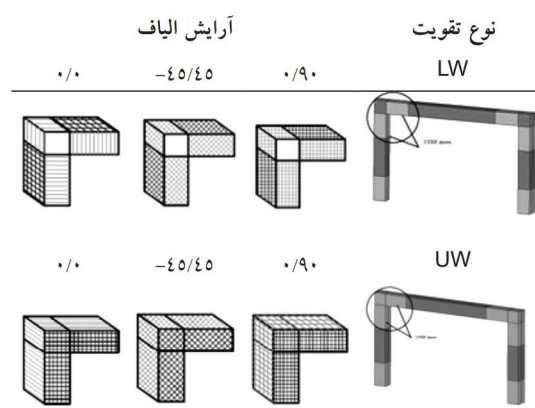
F _{Experimental}	F _{Seismostuct}	F _{LS-DYNA}	نمونه	نمونه	
				فشار	کشش
۲۵/۵۲	۲۲/۸۸	۳۰	C	۲۶/۳۴	۲۴/۸۶
۳۵/۵۵	۳۱/۴۷	۳۷	UW	۳۵/۹۸	۳۱/۶۴

۳- مطالعات پارامتریک

انجام مطالعات پارامتریک همواره در دستیابی به نتایج بیشتر و بررسی عوامل متعدد، مفید و اجتناب‌ناپذیر می‌باشد. در این قسمت، پارامترهای مؤثر در رفتار قاب تقویت شده با الیاف پلیمری بررسی و اثرات تعییرات هر پارامتر در راستای دستیابی به یک آرایش بهینه برای تقویت، مورد بررسی قرار گرفته‌اند. برای دستیابی به این آرایش، مدل‌هایی با در نظر گرفتن اثر نوع تقویت و اثر راستای الیاف مدل‌سازی گردیده است. در جدول ۵ مشخصات مدل‌های ساخته شده و تفاوت آنها ذکر شده است.

تقویت قاب‌ها با دو رویکرد کلی تقویت خمشی و تقویت برشی قاب انجام پذیرفت. به منظور تقویت خمشی قاب، با توجه به ثابت بودن تراز بار ثقلی، الیاف کربن بصورت L-شکل در بالا و پایین اتصال مطابق جدول نصب گردیدند. میزان امتداد این الیاف از بر اتصال به اندازه ۲ برابر بعد اتصال در نظر گرفته شد (۳۰ سانتیمتر). در این نمونه‌ها وجود ناچیه اتصال فاقد تقویت بود. همچنین به منظور تقویت برشی ناچیه اتصال در قاب الیاف کربن بصورت L-شکل مورد استفاده قرار گرفتند. در نواحی ابتدایی و انتهایی تیر و ستون‌ها، دوربیچی به عرض ۳۰ سانتیمتر اجرا گردید و همچنین در دو نواحی اتصال ستون به فونداسیون از دوربیچی به طول ۳۰ سانتیمتر استفاده شده است. مشخصات الیاف مصرفی در جدول ۳ ارائه گردیده است. ضخامت الیاف مصرفی ۰/۱۶۷ میلیمتر می‌باشد.

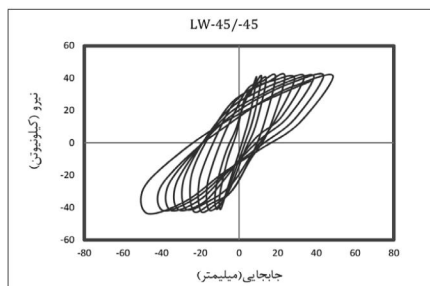
جدول ۵- نمونه‌های پارامتریک



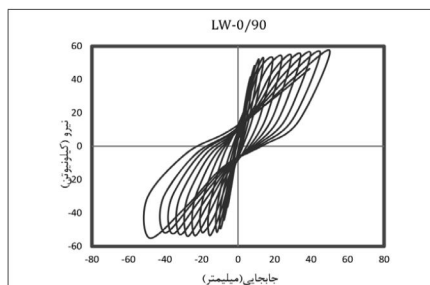
بهترین نمونه از لحاظ انرژی مستهلك شده، نمونه LW-45/-45 بهترین نمونه از لحاظ انرژی مستهلك شده، نمونه LW-45/-45 باشد که مقدار آن حدود ۱۵۰۰ ژول می‌باشد که نسبت به نمونه کنترل افزایش ۶۹ درصدی دارد. نمودارهای هیسترزیس نمونه‌های ۴۵/-۴۵ UW، ۹۰/-۰ LW، ۹۰/-۰ LW، ۴۵/-۴۵ LW در اشکال ۱۳ تا ۱۶ نشان داده شده است.

جدول ۷- مقادیر انرژی مستهلك شده و شکل پذیری نمونه‌های پارامتریک

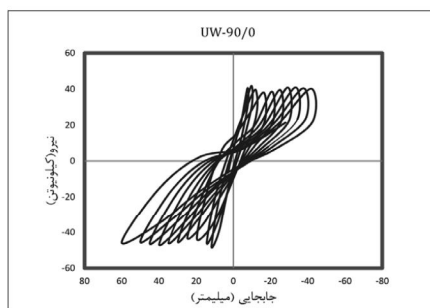
μ	انرژی مستهلك شده (ژول)	D_F	نمونه‌ها
۶/۱۱	۱۰۰۱۷	۰/۷۶	LW-۰/۰
۷/۲۳			
۷/۸۵	۹۵۵۱	۰/۷۸	LW-۴۵/-۴۵
۷			
۶/۱	۹۴۵۲	۰/۸۰	LW-۰/۹۰
۶/۶۲			
۶/۵	۱۱۷۳۲	۱/۰۶	UW-۰/۰
۶/۷۹			
۵/۴	۱۴۶۲۳	۱/۰۲	UW-۴۵/-۴۵
۶/۳۲			
۶/۱	۱۱۵۵۹	۱/۰۴	UW-۰/۹۰
۰/۴۵			



شکل ۱۳- نمودار هیسترزیس بهترین نمونه خمی از لحاظ انرژی مستهلك شده



شکل ۱۴- نمودار هیسترزیس بهترین نمونه خمی از لحاظ افزایش مقاومت



شکل ۱۵- نمودار هیسترزیس بهترین نمونه برشی از لحاظ افزایش مقاومت

به کار بردن شکل پذیری جنبشی به عنوان شاخص خرابی برای این سازه‌ها، مناسب است. همچنین، در مورد سازه‌هایی که رفتاری با ویژگی‌های زوال تجمعی و تدریجی دارند و تحت اثر زمین لرزه‌های ضربه‌ای و یا کوتاه مدتی قرار گیرند که بتوان آنها را با یک چرخه بزرگ شبیه‌سازی نمود نیز، می‌توان ارزیابی خرابی را با شاخص نرمی و یا شکل پذیری جنبشی انجام داد.

همانطور که می‌دانیم، شکل پذیری وابسته به دو پارامتر جابجایی Δu /۰.۸ بار نهایی، Δu و جابجایی نظیر تسیلیم Δy است که توسط رابطه زیر بیان می‌گردد. برای بدست آوردن مقادیر فوق، نیاز به نتایج آزمایشگاهی (منحنی بار- جابجایی) و در صورت نبودن این نتایج می‌توان با تقریب خوبی از نتایج روش عددی استفاده نمود. که در مقاله نیز از روش گفته شده شکل پذیری گزارش شده است.

$$\mu = \frac{\Delta u}{\Delta y} \quad (1)$$

انرژی جذب شده پلاستیک (E_h)، اولین بار به عنوان یک معیار اندازه‌گیری خرابی که جذب انرژی تجمعی را در نظر می‌گیرد، به کار برده شد. محققین مختلفی در این مورد به مطالعه پرداخته و تغییرات متعددی را در این شاخص به وجود آورده‌اند. این تغییرات عموماً در راستای اصلاح فاکتورهایی برای در نظر گرفتن ویژگی‌های خاص هندسی و بارگذاری برای سازه‌های بتن آرم، بوده است. برای مثال، مطالعه آزمایشگاهی روی میزان ظرفیت جذب انرژی المان‌ها توسط سوزوکی^۱ و همکاران انجام شده، و سپس کراتزیگ^۲ اصلاحاتی را روی آن انجام داد [۹-۱۲].

شاخص‌های خرابی که بر پایه میزان جذب انرژی تعریف شده‌اند، به دلیل سادگی در محاسبه مورد استقبال قرار گرفته‌اند. روش دیگر بر پایه افزایش خرابی تدریجی تحت بارگذاری چرخه‌ای، معرفی شده و عموماً با فرض روی دادن پدیده خستگی ناشی از تعداد پایین چرخه‌های هیسترزیس، مدلسازی می‌شوند. یک شاخص تجمعی تغییر شکل کلی را می‌توان با معرفی تئوری‌های شناخته شده آقایان کافین و مانسون^۳ و ماینر^۴ ارائه کرد [۴].

$$D_F = \sum_{i=1,n} \left(\frac{\delta_i - \delta_y}{\delta_u - \delta_y} \right)^b \quad (2)$$

در رابطه :

n : تعداد حلقه‌های هیسترزیس،

δ_i : حداکثر جابجایی در هر چرخه،

δ_u : جابجایی تسیلیم و

δ_y : حداکثر جابجایی نهایی می‌باشد.

مقدار به دست آمده از این شاخص خرابی بر پایه ثابت که به مصالح سازه وابسته است و تعداد جابجایی‌های (i)^۵ مستقل پلاستیک (n) بدون توجه به ترتیب روی دادن آنها محاسبه می‌شود. مقادیر شکل پذیری کلی سازه و انرژی مستهلك شده در جدول ۷ نشان داده شده است.

1. Suzuki et al
2. Kratzig et al
3. Low-Cycle Fatigue
4. Coffin & Manson
5. Miner

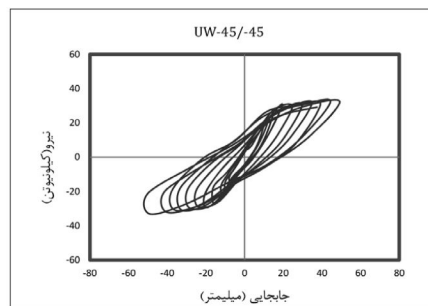
مقاومت نمونه‌های تقویت، به میزان قابل ملاحظه‌ای افزایش یافت.
 طرفیت استهلاک انرژی هر نمونه ناشی از عملکرد غیرخطی در داخل و حوالی ناحیه‌های اتصال در قاب، با جمع سطح زیر منحنی بار-تغییر مکان در ترازهای مختلف تغییر مکانی، محاسبه می‌گردد که انرژی مستهلك شده بصورت قابل ملاحظه‌ای با تقویت قاب با الیاف پلیمری الیافی افزایش می‌یابد.

در حالت لایه چینی $0/0$ ، $90/0$ و $45/45$ - و تقویت خمی نمونه با زاویه $45/45$ - استهلاک انرژی بیشتری دارد در حالیکه نمونه‌های $0/0$ و $90/0$ مقاومت افزون تری داشتند.

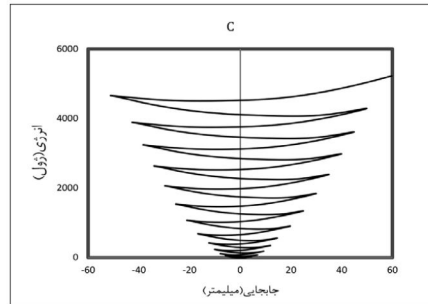
در حالت دو لایه لایه چینی $0/0$ ، $90/0$ و $45/45$ - و تقویت برشی نیز نمونه با زاویه $45/45$ - استهلاک انرژی بیشتری دارد، در حالیکه نمونه‌های $0/0$ و $90/0$ مقاومت افزون تری داشتند.

منابع و مأخذ

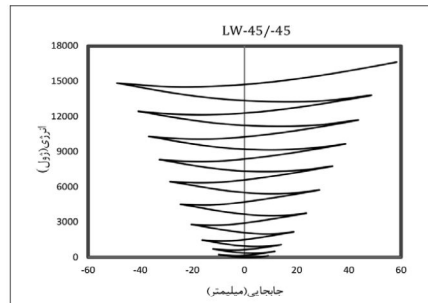
- [1] Design Guidelines And Customer agreement executive improvement improvement of existing concrete structures using reinforced materials FRP, Publication 345, State Planning Organization and Management, (1385)(In Persian).
- [2] Balsamo, A., Colombo, A., Manfredi, G., Negro, P., Prota, A., "Seismic behavior of a full-scale RC frame repaired using CFRP laminates", Engineering Structures 27 (2005) p.p.769-780.
- [3] Duong, K., Sheikh, A., and Vecchio, F., "Seismic Behavior of Shear-Critical Reinforced Concrete Frame: Experimental Investigation", ACI Structural Journal, 104, 3 (2007).
- [4] Kim, S., Vecchio, F., "Modeling of Shear-Critical Reinforced Concrete Structures Repaired with Fiber-Reinforced Polymer Composites", ASCE (2008).
- [5] Zhu, J., Wang, X., Xu, Z., Weng, C., "Experimental study on seismic behavior of RC frames strengthened with CFRP sheets", Composite structures, Elsevier, 93(2011) p.p.1595-1603.
- [6] Livermore software Technology corporation (LSTC), LS-DYNA keyword user manual, (2009).
- [7] Seismostruct keyword user manual, (2012).
- [8] Martinez-Rueda, J.E. Elnashai, A.S. "Confined concrete model under cyclic load," Materials and structures. (1997), pp139-147.
- [9] Cosenza, E.; Manfredi, G., "Damage indices and damage measures", Prog. Struct. Eng Mater. (2000), p.p 50–59.
- [10] Di Ludovico, M., Prota, A., Manfredi, G., Cosenza, E., "Seismic strengthening of an under-designed RC structure with FRP", Earthquake Eng Struct. Dyn.; 37(2008) p.p.141–162.
- [11] Suzuki M, Akakura Y, Adachi H, & Ozaka Y. Evaluation of damage index for reinforced concrete structures. Concrete Library of JSCE (1995) 26- 1-17.
- [12] Kratzig WB, Meyer IF & Meskouris K. Damage evolution in reinforced concrete members under cyclic loading. In: Proceedings 5th International Conference on Structural Safety and Reliability (ICOSSAR '89), San Francisco, USA, (1989). Vol II. 795–802.



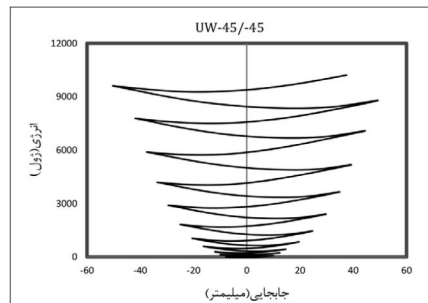
شکل ۱۶- نمودار هیسترزیس بهترین نمونه برشی از لحاظ انرژی مستهلك شده نمودارهای استهلاک انرژی تجمعی نمونه کنترل و بهترین نمونه از هر مدل تقویت در اشکال ۱۷ تا ۱۹ نشان داده شده است.



شکل ۱۷- نمودار انرژی مستهلك شده نمونه کنترل



شکل ۱۸- نمودار انرژی مستهلك شده بهترین نمونه الگوی خمی



شکل ۱۹- نمودار انرژی مستهلك شده بهترین نمونه الگوی برشی

۵- جمع‌آوری نتایج

نتایج تحلیل قاب‌ها، نشان‌دهنده این است که نواحی اتصال تیر به ستون و ناحیه اتصال ستون به فونداسیون، نواحی بحرانی در رفتار قاب تحت بارهای جانبی می‌باشند. نواحی اتصال، مقاومت و سختی خود را تحت بارهای ناشی از زلزله از دست می‌دهند که این امر می‌تواند موجب خرابی و فروپاشی کلی قاب گردد. با توجه به این امر و با احتساب ظرفیت اتصال به عنوان پارامتر تعیین کننده در رفتار قاب، اینمی کلی قاب در برابر بارهای لرزه‌ای با کنترل این پارامتر قابل دسترسی می‌باشد.